

К РЕШЕНИЮ ПРОСТРАНСТВЕННОЙ КВАЗИСТАТИЧЕСКОЙ  
ЗАДАЧИ ТЕРМОУПРУГОСТИ ДЛЯ КУСОЧНО-ОДНОРОДНЫХ ТЕЛ

В. И. ЛАВРЕНЮК

(Киев)

На основании теорий обобщенных функций предлагается способ решения квазистатических задач пространственной термоупругости для кусочно-однородных тел. Термомеханические характеристики рассматриваемых тел записываются при помощи характеристических функций области в виде, едином для всей области. Для решения краевых задач теории упругости в перемещениях используется метод возмущения. Решение полученной рекуррентной последовательности краевых задач записывается в виде потенциалов, плотность которых зависит от формы включений, вида нагрузки. Вид записи термомеханических характеристик таков, что на поверхностях включений автоматически выполняются условия идеального контакта.

Рассмотрен конкретный пример о напряженном состоянии упругого пространства с конечным числом включений, имеющих форму параллелепипеда (грани которого параллельны координатным осям), при нагреве до постоянной температуры. В первом приближении решение получено в аналитическом виде.

1. Пространственная квазистатическая задача термоупругости для неоднородных сред сводится к нахождению трех функций  $u_i(\mathbf{x})$  в объеме  $V$  (объем ограничен поверхностью Ляпунова  $S$ ), занимаемом телом, которые удовлетворяют системе уравнений [1]:

$$(\lambda + \mu) u_{h, ki} + \mu u_{i, kh} + \lambda_{, i} u_{h, k} + \mu_{, j} (u_{i, j} + u_{j, i}) + \rho F'_i = 0, \quad x \in V \quad (i, j, k=1, 2, 3) \quad (1.1)$$

При заданных условиях на границе  $S$ :

$$[\lambda \theta \delta_{ij} + \mu (u_{i, j} + u_{j, i})] n_j = g'_i(\mathbf{x}), \quad \mathbf{x} \in S_\sigma$$

$$u_i(x) = \varphi_i(\mathbf{x}), \quad \mathbf{x} \in S_u, \quad F'_i = F_i - \frac{1}{\rho} [\gamma T^*]_{, i}, \quad \gamma = 3K\alpha \quad (1.2)$$

$$g'_i = q_i + \gamma T^* n_i, \quad T^* = T - T_0, \quad \theta = u_{h, k} \quad (h=1, 2, 3)$$

где  $T_0$  — температура начального состояния, при котором напряжения в объеме отсутствуют;  $K$  — модуль объемного сжатия;  $\alpha$  — коэффициент линейного расширения;  $S_\sigma$  — часть поверхности  $S$ , на которой заданы напряжения;  $S_u$  — часть поверхности, на которой заданы перемещения.

Здесь и далее, если не оговорено противное, примем правило суммирования по повторяющимся индексам. Нижний индекс после запятой обозначает дифференцирование по соответствующей координате.

Термомеханические характеристики кусочно-однородного упругого тела (фиг. 1) запишем в виде

$$\lambda_{j'} = \langle \lambda_j \rangle + \lambda_{j'}, \quad \lambda_1 = \lambda, \quad \lambda_2 = \mu \quad (1.3)$$

$$\lambda_{j'} = \lambda_{jp} S(\bar{V}_p) + \lambda_{j0} [1 - 1^i S(\bar{V}_p)]$$

Здесь  $S(V_p)$  — характеристическая функция области  $V_p$  (включения), ограниченной поверхностью  $S_p$ , уравнение которой  $V_p(x)=0$  (причем  $V_p(x) \geq 0$  при  $x \in V_p$ );  $\langle \lambda_j \rangle + \lambda_{jp}$  — термомеханические характеристики объемов  $V_p$ ,  $p \geq 1$  и  $V_0$ ,  $p=0$  (матрицы);  $\langle \lambda_j \rangle$  — усредненные значения соответствующих упругих характеристик;  $S(V_p)=0$  при  $V_p < 0$  и  $S(V_p)=1$  при  $V_p \geq 0$  ( $p=1, 2, 3, \dots, N$ ).

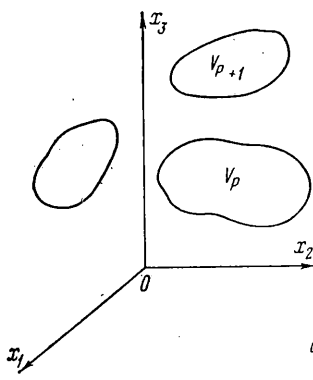
Для решения краевой задачи (1.1), (1.2) применим метод возмущения [2]; для этого введем безразмерный малый параметр  $\kappa$ :

$$\lambda_j = \langle \lambda_j \rangle + \kappa \lambda_j' \quad (1.4)$$

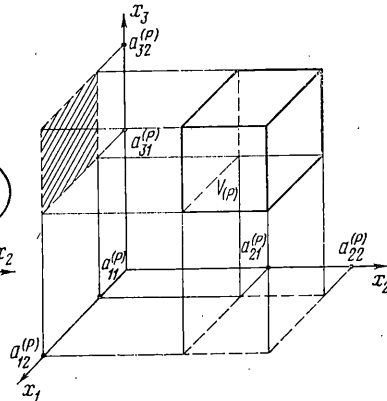
Перемещения представим в виде

$$u_i(x) = \kappa^k u_i^{(k)}(x) \quad (1.5)$$

Решение получаем при  $\kappa=1$ .



Фиг. 1



Фиг. 2

Подставляя (1.4), (1.5) в (1.1) и краевые условия (1.2) на  $S$ , получим для определения  $u_i^{(0)}(x)$  краевую задачу

$$\Delta^* u_i^{(0)}(x) + \rho F_i' = 0, \quad x \in V \quad (1.6)$$

$$\sigma_{ij}^{(0)} n_j = g_i'(x), \quad x \in S_\sigma$$

$$u_i^{(0)}(x) = \varphi_i(x), \quad x \in S_u$$

$$\Delta^* u_i = (\langle \lambda_1 \rangle + \langle \lambda_2 \rangle) u_{i,h,h} + \langle \lambda_2 \rangle u_{i,h,h}$$

$$\sigma_{ij}^{(k)} = \langle \lambda_1 \rangle u_{h,h}^{(k)} \delta_{ij} + \langle \lambda_2 \rangle (u_{i,j}^{(k)} + u_{j,i}^{(k)})$$

а для определения  $u_i^{(k)}(x)$  — рекуррентную последовательность краевых задач

$$\Delta^* u_i^{(k)}(x) = \eta_i^{(k-1)}(x), \quad x \in V$$

$$\sigma_{ij}^{(k)} n_j = g_i^{(k-1)}(x), \quad x \in S_\sigma$$

$$u_i^{(k)}(x) = 0, \quad x \in S_u \quad (1.7)$$

$$\eta_i^{(k)} = (\lambda_1' + \lambda_2') u_{i,l,l}^{(k)} + \lambda_2' u_{i,l,l}^{(k)} + \lambda_2' (u_{i,j}^{(k)} + u_{j,i}^{(k)})$$

$$g_i^{(k)} = [\lambda_1' u_{l,l}^{(k)} \delta_{ij} + \lambda_2' (u_{i,j}^{(k)} + u_{j,i}^{(k)})] n_j$$

Представим перемещения в виде суммы

$$u_i^{(k)} = u_{i1}^{(k)} + u_{i2}^{(k)} \quad (1.8)$$

где  $u_{i1}^{(k)}$  — частное решение систем (1.6) при  $k=0$  и (1.7) при  $k \geq 1$ . Частное решение  $u_{i1}^{(0)}$  удобно искать в виде суммы  $u_{i1}^{(0)} = u_{ii}^{(0)} + u_{ij}^{(0)}$ , где  $u_{ij}^{(0)}$  — частное решение системы уравнений (1.6) при отсутствии температурного члена и  $u_{ii}^{(0)}$  — частное решение той же системы при отсутствии массовых сил.

Для нахождения  $u_{ii}^{(0)}(x)$  по аналогии с однородной упругостью [3] введем потенциал термоупругих перемещений  $\Phi(x)$  соотношением  $u_{ii}^{(0)} = \Phi_{,i}$ . Подставляя  $\Phi(x)$  в (1.6), при отсутствии массовых сил получим

$$[(\langle \lambda_1 \rangle + 2\langle \lambda_2 \rangle) \Phi_{,jj} - \gamma T^*]_{,i} = 0$$

Представим  $\gamma$  в виде

$$\gamma = \langle \gamma \rangle + \gamma_p S(V_p) = \langle \gamma \rangle + \gamma', \quad \langle \gamma \rangle = \gamma(x), \quad x \in V_0 \quad (1.9)$$

Напряжения, соответствующие потенциалу  $\Phi(x)$ , определяются соотношением

$$\sigma_{ij}^{(0)} = 2\langle \lambda_2 \rangle [\Phi_{,ij} - \delta_{ij} \Phi_{,hh}] \quad (1.10)$$

Выражение для потенциала  $\Phi(x)$  дается интегралом Пуассона

$$\Phi(x) = \frac{-1}{4\pi(\langle \lambda_1 \rangle + 2\langle \lambda_2 \rangle)} \int_V \frac{T^* \gamma'}{R(x, \xi)} dv_\xi \quad (1.11)$$

или, подставляя (1.9) в (1.11), будем иметь

$$\Phi(x) = \frac{\gamma_p}{4\pi(\langle \lambda_1 \rangle + 2\langle \lambda_2 \rangle)} \int_{V_p} \frac{T^*(\xi)}{R(x, \xi)} dv_\xi \quad (1.12)$$

$$R(x, \xi) = [(\xi_i - x_i)(\xi_i - x_i)]^{1/2} \quad (i=1, 2, 3)$$

Перемещения  $u_{i2}^{(k)}(x)$  определяются как решение краевых задач: при  $k=0$

$$\begin{aligned} \Delta^* u_{i2}^{(0)}(x) &= 0, \quad x \in V \\ \sigma_{ij2}^{(0)} n_j &= g_i'(x) - \sigma_{ij1}^{(0)} n_j, \quad x \in S_\sigma \end{aligned} \quad (1.13)$$

при  $k=0$

$$\begin{aligned} u_{i2}^{(0)}(x) &= \varphi_i(x) - u_{i1}^{(0)}(x), \quad x \in S_u \\ \Delta^* u_{i2}^{(k)}(x) &= 0, \quad x \in V \\ \sigma_{ij2}^{(k)} n_j &= g_i^{(k-1)}(x) - \sigma_{ij1}^{(k)} n_j, \quad x \in S_\sigma \end{aligned} \quad (1.14)$$

Перемещения  $u_{i1}^{(0)}$ ,  $u_{ij}^{(0)}$ ,  $u_{i1}^{(k)}$  определяются через известное решение Кельвина [3]:

$$u_i^{(k)}(x) = \int_V F_j^{(k)}(\xi) U_j^i(x, \xi) dv_\xi$$

$$U_j^i(\mathbf{x}, \xi) = A [BR^{-1}(\mathbf{x}, \xi) \delta_{ij} - (R(\mathbf{x}, \xi))_{,ij}] \quad (1.15)$$

$$A = \frac{\langle \lambda_1 \rangle + \langle \lambda_2 \rangle}{8\pi \langle \lambda_2 \rangle (\langle \lambda_1 \rangle + 2\langle \lambda_2 \rangle)}, \quad B = \frac{\langle \lambda_1 \rangle + 2\langle \lambda_2 \rangle}{\langle \lambda_1 \rangle + \langle \lambda_2 \rangle}$$

$$F_j^{(0)} = \rho F_j', \quad F_j^{(k)} = \eta_j^{(k-1)}, \quad k \geq 1$$

Краевые задачи (1.13), (1.14) описывают напряженное состояние однородного упругого тела, занимающего объем  $V$  при заданных на границах области  $S$  условиях.

Пусть  $G_i^j(\mathbf{x}, \xi)$  — тензор Грина, являющийся решением системы уравнений:  $\Delta^* G_i^j(\mathbf{x}, \xi) + \delta(\mathbf{x} - \xi) \delta_{ij} = 0$ ,  $\mathbf{x}, \xi \in V$ .

с граничными условиями

$$G_i^j(\mathbf{x}, \xi) = 0, \quad \xi \in S_u, \quad \mathbf{x} \in V \quad (1.16)$$

$$\sigma_{hi}^j(\mathbf{x}, \xi) n_h = 0, \quad \xi \in S_\sigma, \quad \mathbf{x} \in V$$

$$\sigma_{hi}^j = \langle \lambda_1 \rangle G_{i,l}^j \delta_{hl} + \langle \lambda_2 \rangle (G_{h,i}^j + G_{i,h}^j)$$

Тогда решение краевых задач для определения  $u_{i2}^{(k)}(\mathbf{x})$  запишется в виде [3]:

$$\begin{aligned} u_{i2}^{(k)}(\mathbf{x}) &= \int_{S_\sigma} P_{i1}^{(k)}(\xi) G_i^l(\mathbf{x}, \xi) ds_\xi - \int_{S_u} P_i^{\nu l}(\mathbf{x}, \xi) u_{i2}^{(k)}(\xi) ds_\xi \\ P_{i1}^{(0)}(\xi) &= g_l'(\xi) - \sigma_{i1l}^{(0)} n_j, \quad \xi \in S_\sigma \\ u_{i2}^{(0)}(\xi) &= \varphi_l(\xi) - u_{i1}^{(0)}(\xi), \quad \xi \in S_u \\ P_{i1}^{(k)}(\xi) &= g_l^{(k-1)}(\xi) - \sigma_{i1l}^{(k)} n_j, \quad \xi \in S_\sigma \quad (k \geq 1) \\ u_{i2}^{(k)}(\xi) &= -u_{i1}^{(k)}(\xi) \quad (k \geq 1), \quad \xi \in S_u \\ P_i^{\nu l}(\mathbf{x}, \xi) &= \sigma_{ij}^l(\mathbf{x}, \xi) n_j, \quad \xi \in S_\sigma \end{aligned} \quad (1.17)$$

Исследуем поведение решений  $u_{i1}^{(k)}(\mathbf{x})$  для случая, когда термомеханические свойства объема  $V$  имеют вид (1.3) и (1.9). Частные решения  $u_{i1}^{(0)}$  представляют [4] собой первые производные от объемных потенциалов (1.12), которые при существовании интегрируемых производных от  $T^*$  непрерывны вместе с тангенциальными (к каждой из  $S_p$ ) производными в  $V$ . Нормальные производные претерпевают при переходе через каждую из поверхностей  $S_p$  конечный скачок. Аналогичными свойствами обладают и частные решения  $u_{ij}^{(0)}$ .

Используем далее свойства обобщенной дельта-функции [5], сосредоточенной на поверхности  $S_p$  и связанной с характеристической функцией  $S(V_p)$  соотношением  $[S(V_p)]_{,j} = V_{p,j} \delta(V_p)$ , подставляя (1.3) в (1.7), а затем в (1.15), получим

$$\begin{aligned} u_{i1}^{(1)}(\mathbf{x}) &= \int_{V_p} [(\lambda_{1p} + \lambda_{2p}) u_{h1,hj}^{(0)} + \lambda_{2p} u_{j1,hh}^{(0)}] U_j^i(\mathbf{x}, \xi) dv_\xi + \\ &+ \int_{V_\sigma} [(\lambda_{1p} + \lambda_{2p}) u_{h1,hj}^{(0)} + \lambda_{2p} u_{j1,hh}^{(0)}] U_j^i(\mathbf{x}, \xi) dv_\xi + \int_{S_p} [(\lambda_{1p} + \\ &+ \lambda_{2p}) u_{h1,h}^{(0)} V_{p,j} + \lambda_{2p} (u_{j1,l}^{(0)} + u_{i1,j}^{(0)}) V_{p,l}] U_j^i(\mathbf{x}, \xi) \omega^{(p)}(\xi) \end{aligned} \quad (1.18)$$

Свертка  $f(x)$  кусочно-непрерывной функции в  $R^3$  и  $\delta(V_p)$  выражается интегралом

$$f(x) * \delta(V_p) = \int_{S_p} f(x-\xi) \omega^{(p)}(\xi)$$

где  $\omega^{(p)}$  — дифференциальная форма, которая при условии  $\text{grad } V_p \neq 0$  (на  $S_p$ ) может быть определена равенством

$$\omega^{(p)}(\xi) = (-1)^{j-1} V_{p,j}^{-1} d\xi_1, \dots, d\xi_{j-1} d\xi_{j+1}, \dots, d\xi_n \quad (n=3, j=1,2,3)$$

Первые два слагаемых в (1.18) представляют суммы объемных потенциалов, плотности которых — непрерывные функции внутри области  $V_p$  и имеют особенность типа  $\delta(V_p)$  на границе области  $S_p$ .

Объемный потенциал, определяющий  $u_{i1}^{(1)}$ , используя формулу Остроградского и свойства тензора Грина  $U_{j,l\xi}^i = -U_{jl\xi}^i$ , представим в виде

$$\begin{aligned} & \int_{V_p} [(\lambda_{1p} + \lambda_{2p}) u_{k1,kj}^{(0)} + \lambda_{2p} u_{j1,l}^{(0)}] U_j^i(x, \xi) dV_\xi = \\ & = \int_{S_p} [(\lambda_{1p} + \lambda_{2p}) n_j u_{k1,k}^{(0)} + \lambda_{2p} n_l u_{j1,l}^{(0)}] U_j^i(x, \xi) dS_\xi + \\ & + \int_{V_p} [(\lambda_{1p} + \lambda_{2p}) u_{k1,k}^{(0)} U_{j,j}^i(x, \xi) + \lambda_{2p} u_{j1,l}^{(0)}] U_{j,l}^i(x, \xi) dv_\xi. \end{aligned} \quad (1.19)$$

Первое слагаемое полученного выражения — потенциал простого слоя с непрерывной на  $S_p$  плотностью, второе — первые производные объемного потенциала с кусочно-непрерывной в  $V_p$  плотностью, если  $S_p$  — поверхность Ляпунова. Аналогично можно представить в (1.18) потенциал по области  $V_0$ . Третье слагаемое — потенциал простого слоя с непрерывной на  $S_p$  плотностью, если  $S_p$  — поверхность Ляпунова.

На основании свойств потенциалов приходим к выводу, что перемещения  $u_{i2}^{(1)}$  непрерывны вместе со своими тангенциальными производными в  $V$ . Нормальные производные при переходе через каждую из поверхностей  $S_p$  претерпевают конечный скачок, оставаясь при этом непрерывными функциями точек поверхности  $S_p$ , если только  $S_p$  — поверхность Ляпунова.

Рассуждая аналогично, приходим к выводу, что  $u_{i2}^{(k)}$  ( $k > 1$ ) ведут себя так же.

Перемещения  $u_{i1}^{(k)}$  как решения краевых задач для соответствующих задач однородной упругости, очевидно, непрерывны и дважды непрерывно дифференцируемы в области  $V$ .

Таким образом, задание термомеханических характеристик в виде (1.3), (1.9) приводит к автоматическому выполнению условий идеального контакта на каждой из поверхностей  $S_p$ .

По-видимому, условия идеального контакта будут выполняться и для случая, когда поверхности  $S_p$  не будут поверхностями Ляпунова, а будет лишь выполнено условие  $\text{grad } V_p \neq 0$  (на  $S_p$ ) (при этом включения могут соприкасаться и в частном случае покрывать всю область  $V$ , тогда  $V_0 = \emptyset$ ). В таких случаях необходимо исследовать поведение объемных потенциалов и потенциалов простого слоя для поверхностей с особенностями.

2. Определим термонапряженное состояние неограниченного пространства с конечным числом включений, имеющих форму параллелепипеда, грани которых параллельны координатным плоскостям (фиг. 2).

Рассмотрим случай отсутствия массовых сил и постоянной температуры  $T^* = \text{const}$ . Характеристическую функцию для  $p$ -го параллелепипеда можно записать так:

$$S(V_p) = \prod_{i=1}^{i=3} S(x_i - a_{il}^{(p)}) (-1)^{l+1} \quad (l=1,2; i=1,2,3) \quad (2.1)$$

Тогда  $\gamma'$  примет вид

$$\gamma'(\mathbf{x}) = \gamma_p \prod_{i=1}^{i=3} S(x_i - a_{il}^{(p)}) (-1)^{l+1} \quad (2.2)$$

Потенциал термоупругих перемещений  $\Phi(\mathbf{x})$  (1.12), который в данном случае полностью определяет решение краевой задачи для  $u_i^{(0)}(\mathbf{x})$ , будет

$$\Phi(\mathbf{x}) = \frac{-\gamma_p}{4\pi(\langle\lambda_1\rangle + 2\langle\lambda_2\rangle)} \int_{a_{31}^{(p)}}^{a_{32}^{(p)}} \int_{a_{21}^{(p)}}^{a_{22}^{(p)}} \int_{a_{11}^{(p)}}^{a_{12}^{(p)}} T^* R^{-1}(\mathbf{x}, \xi) d\xi_1 d\xi_2 d\xi_3 \quad (2.3)$$

Выражение для перемещения  $u_i^{(0)}(\mathbf{x})$  имеет вид

$$\begin{aligned} u_i^{(0)}(\mathbf{x}) &= \frac{\gamma_p T^*}{4\pi(\langle\lambda_1\rangle + 2\langle\lambda_2\rangle)} \int_{a_{31}^{(p)}}^{a_{32}^{(p)}} \int_{a_{21}^{(p)}}^{a_{22}^{(p)}} \int_{a_{11}^{(p)}}^{a_{12}^{(p)}} \frac{\xi_i - x_i}{R^3(\mathbf{x}, \xi)} d\xi_1 d\xi_2 d\xi_3 = \\ &= \frac{\gamma_p T^* (-1)^{t+m+n}}{4\pi(\langle\lambda_1\rangle + 2\langle\lambda_2\rangle)} \{ (a_{ln}^{(p)} - x_l) \ln [(a_{jm}^{(p)} - x_j) + R_{ijl}^{tmn}] - R_{ijl}^{tmn} \} \quad (2.4) \\ &\quad (l \neq j, i \neq j; i, j, l = 1, 2, 3; t, m, n = 1, 2; p = 1, 2, \dots, N) \\ &\quad R_{ijl}^{tmn} \equiv [(a_{it}^{(p)} - x_i)^2 + (a_{jm}^{(p)} - x_j)^2 + (a_{ln}^{(p)} - x_l)^2]^{1/2} \end{aligned}$$

Напомним, что по индексам  $m, n, p, t, l$  должно проводиться суммирование. Напряжения  $\sigma_{ij}^{(0)}$  определяются соотношениями (1.10)

$$\begin{aligned} \sigma_{ij}^{(0)} &= -\frac{\langle\lambda_2\rangle \gamma_p T^*}{4\pi(\langle\lambda_1\rangle + 2\langle\lambda_2\rangle)} \int_{a_{31}^{(p)}}^{a_{32}^{(p)}} \int_{a_{21}^{(p)}}^{a_{22}^{(p)}} \int_{a_{11}^{(p)}}^{a_{12}^{(p)}} R^{-1}(\mathbf{x}, \xi) d\xi_1 d\xi_2 d\xi_3 = \\ &= \frac{T^* \langle\lambda_2\rangle \gamma_p (-1)^{t+m+n+1}}{2\pi(\langle\lambda_1\rangle + 2\langle\lambda_2\rangle)} \ln [(a_{ln}^{(p)} - x_l) + R_{ijl}^{tmn}] \quad (i \neq j) \quad (2.5) \end{aligned}$$

$$\begin{aligned} \sigma_{jj}^{(0)} &= \frac{\langle\lambda_2\rangle \gamma_p T^* (-1)^{t+m+n}}{2\pi(\langle\lambda_1\rangle + 2\langle\lambda_2\rangle)} \arctg \left[ \frac{b_{jm}^{(p)} b_{ln}^{(p)}}{b_{ft}^{(p)} R_{ijl}^{tmn}} + \arctg \frac{b_{jm}^{(p)} b_{fn}^{(p)}}{b_{lt}^{(p)} R_{ijl}^{tmn}} \right] \quad (2.6) \\ &\quad (i = j, f \neq j, j \neq l, f \neq l; f, l, j = 1, 2, 3), \quad b_{jm}^{(p)} = a_{jm}^{(p)} - x_j \end{aligned}$$

Из (2.1)–(2.6) видно, что перемещения  $u_i^{(0)}$  и напряжения  $\sigma_{ij}^{(0)}$  обращаются в нуль на бесконечности. Касательные напряжения  $\sigma_{ij}^{(0)}$  ( $i \neq j$ ) непрерывны во всем пространстве, за исключением вершин параллелепипедов, где они стремятся к бесконечности. Напряжения  $\sigma_{jj}^{(0)}$  конечны во всем пространстве и при переходе через грани параллелепипедов параллельные плоскости  $x_f = 0$ ,  $x_l = 0$  ( $f \neq j$ ,  $f \neq l$ ,  $j \neq l$ ;  $j, f, l = 1, 2, 3$ ) претерпевают конечный скачок.

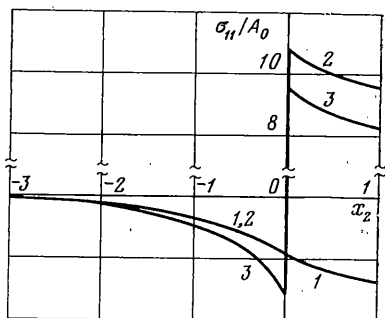
В каждой вершине и вдоль каждого из ребер параллелепипеда выражения для напряжений  $\sigma_{ij}^{(0)}$  имеют неопределенность вида  $\text{arctg}(0/0)$ .

На фиг. 3–5 приведено распределение напряжений

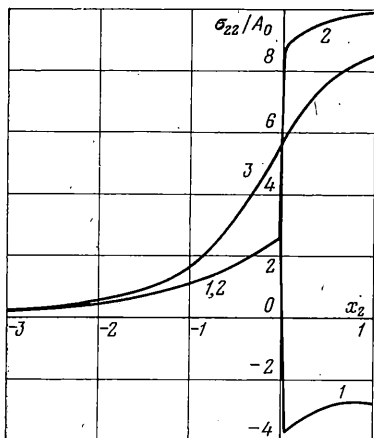
$$\frac{\sigma_{ij}^{(0)}}{A_0}, \quad A_0 = \frac{\langle \lambda_2 \rangle \gamma_p T^*}{2\pi (\langle \lambda_1 \rangle + 2\langle \lambda_2 \rangle)}, \quad a_{i1}^{(1)} = 0, \quad a_{i2}^{(1)} = 2 \quad (i=1,2,3) \quad \text{при } p=1$$

На фиг. 3, 4 построены графики напряжений  $\sigma_{ij}^{(0)}/A_0$  ( $j=1, 2$ ). При  $x_1=1$  (кривая 1 соответствует  $x_3=0_-$ , кривая 2 соответствует  $x_3=0_+$ , а кривая 3 построена при  $x_3=1$ ). Напряжения  $\sigma_{12}^{(0)}/A_0$  представлены на фиг. 5 (кривая 1 относится к случаю  $x_3=0, x_1=1$ , а кривая 2 соответствует  $x_3=0, x_1=0$ ).

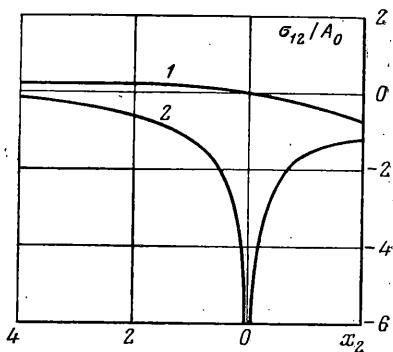
Как показал численный анализ и как видно из графиков, напряжения  $\sigma_{ij}^{(0)}$  ( $i, j=1, 2$ ) достаточно быстро затухают при удалении от включения. Внутри включения напряжения изменяются незначительно. Касательные напряжения везде, кроме близких окрестностей вершин параллелепипедов (в которых



Фиг. 3



Фиг. 4



Фиг. 5

они имеют логарифмическую особенность), незначительны по сравнению с нормальными напряжениями.

Поступила 19 V 1978

ЛИТЕРАТУРА

1. Ломакин В. А. Теория упругости неоднородных тел. Изд-во МГУ, 1976.
2. Ломакин В. А. О деформировании микронеоднородных упругих тел. ПИММ, 1965, т. 29, вып. 5.
3. Новацкий В. Теория упругости. М., «Мир», 1975.
4. Положий Г. Н. Уравнения математической физики. М., «Высшая школа», 1969.
5. Гельфанд И. Н., Шилов Г. Е. Обобщенные функции и действия над ними. М., Физматгиз, 1959.